









^aUniv. Artois, IMT Nord Europe, Junia, Univ. Lille, ULR 45 I 5, Laboratoire de Génie Civil et géo-Environnement (LGCgE), F-62400 Béthune, France ^bAgence de l'Environnement et de la Maîtrise de l'Energie 20, avenue du Grésillé-BP 90406 49004 Angers Cedex 01 France Email: jgrace.dossa@univ-artois.fr

© Contexte et objectif

Croissance de la filière bois énergie entraînant une forte production de cendres de biomasse (245 000 tonnes en 2021).

Nécessité de proposer de nouvelle voie de valorisation des cendres volantes de biomasse (CVB).

Objectif

Analyser la possibilité de valoriser les CVB en tant que substitut du filler calcaire, généralement utilisée pour améliorer la stabilité rhéologique des mélanges.

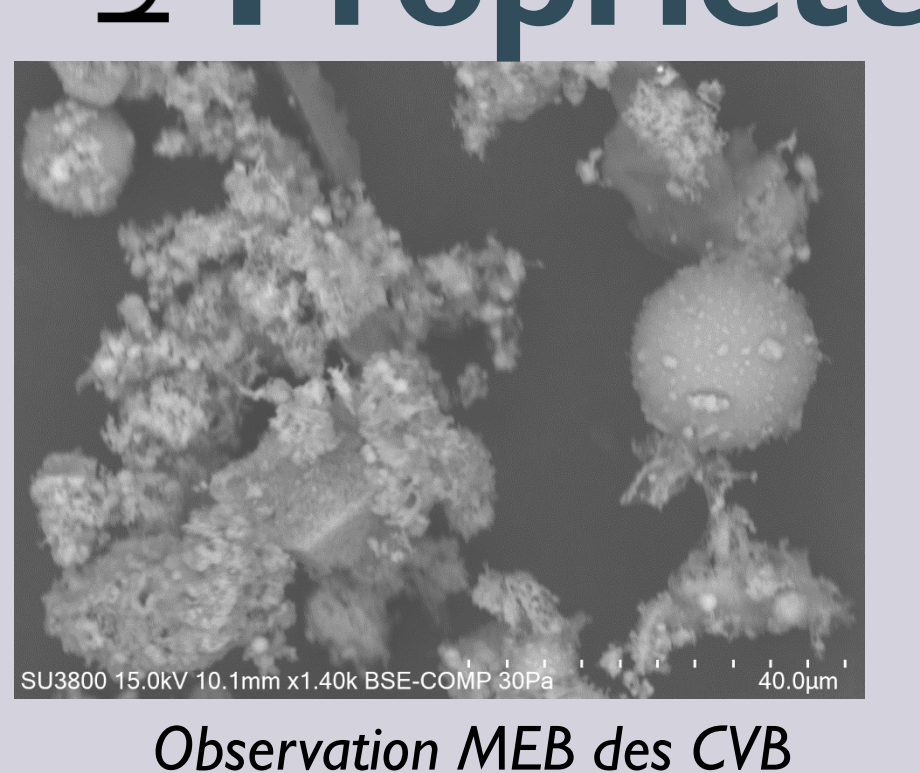
Provenance des CVB

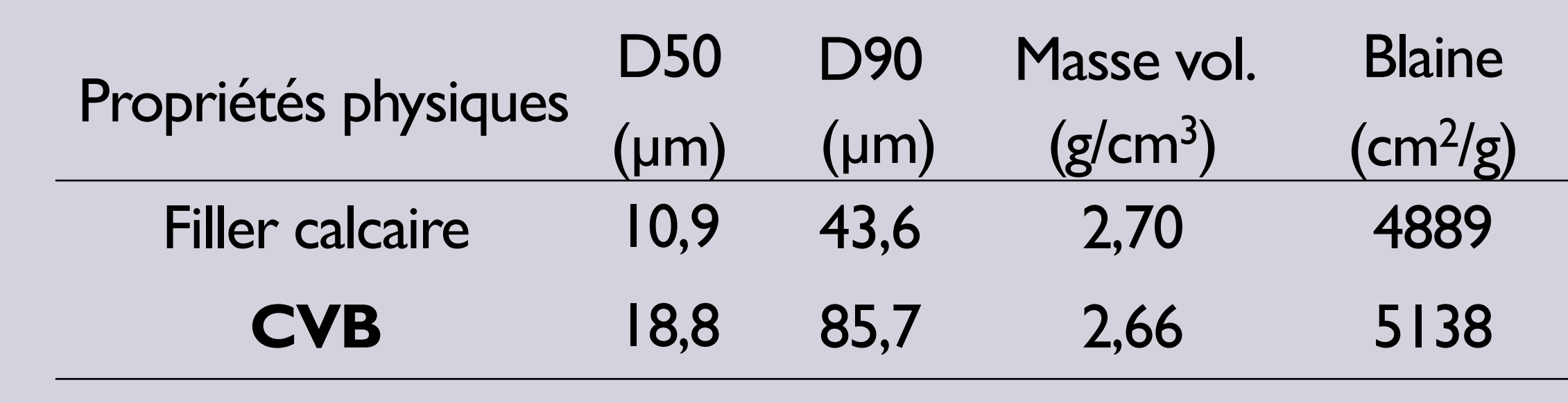
© Centrale à lit fluidisé de Lens (Haut de France).

Biomasse: bois rond, plaquettes forestières, broyats de palettes.

4 Propriétés des CVB

Comportement rhéologique de matériaux





- Observation MEB des CVB Autres 4,40% PAF SO3 SiO₂ 15,93% 2,92% 38,03% K20 5,31% MgO **AI2O3** CaO 2,95% 3,77% 24,65% Fe2O3 2,04%
- \circ SiO₂+ Al₂O₃ + Fe₂O₃ =**43,84**% < 70 % (NF EN 450-1)
- Absence de phases amorphes (DRX)
 - Absence d'activité pouzzolanique
- Surface spécifique élevée
- Présence d'imbrulés (Perte au feu (PAF) élevée)
 - Augmentation de la demande en eau

Méthodologie

1. Composition des pâtes

CEM I 42,5 R (1037 g/l)

CEM III 52,5 L (1018 g/l)

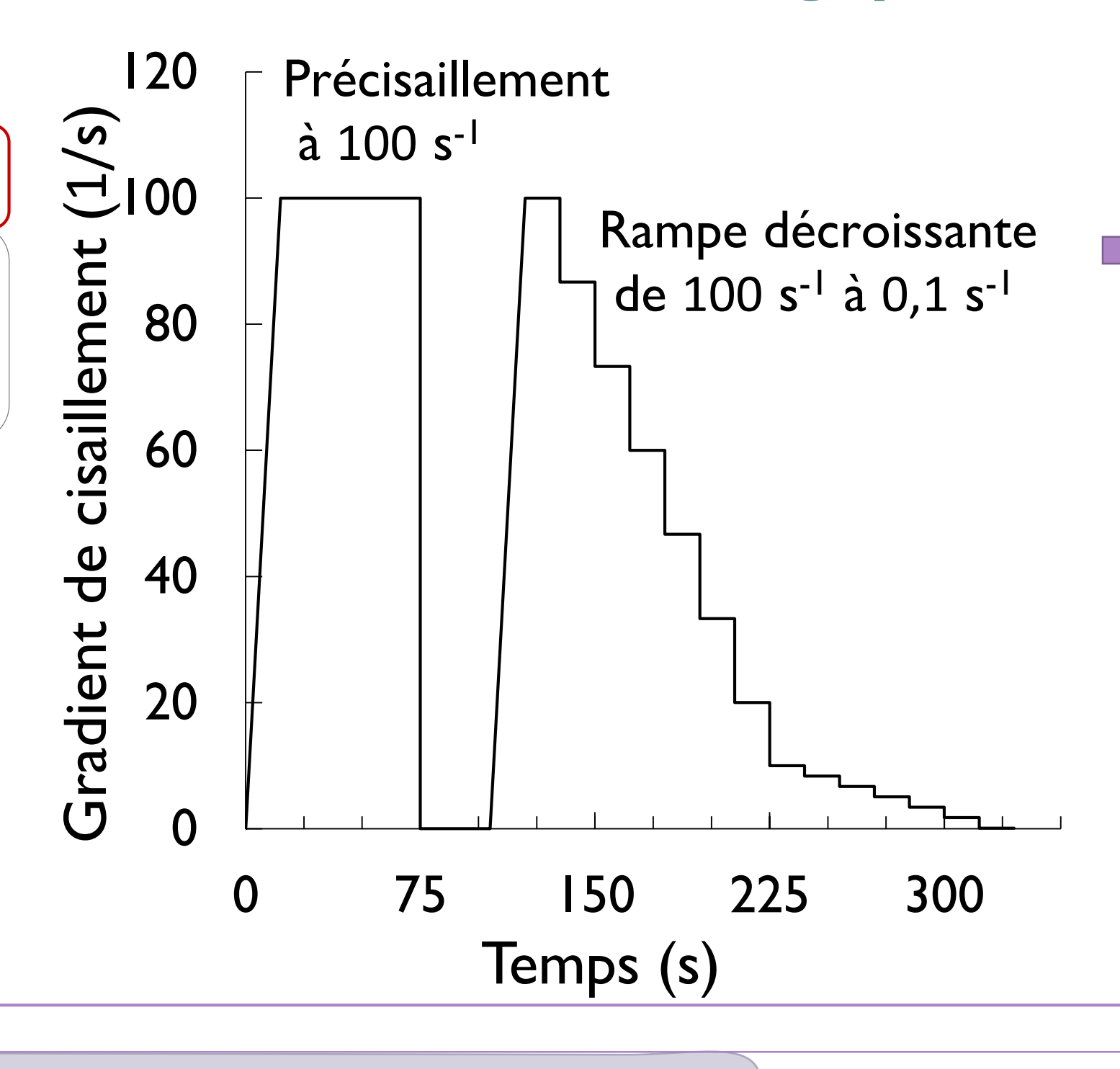
- \circ Eau/Liant = 0,41
- Substitution volumique du filler par les CVB (0, 30, 50, 70, et 100%)

2. Mesures à l'état frais

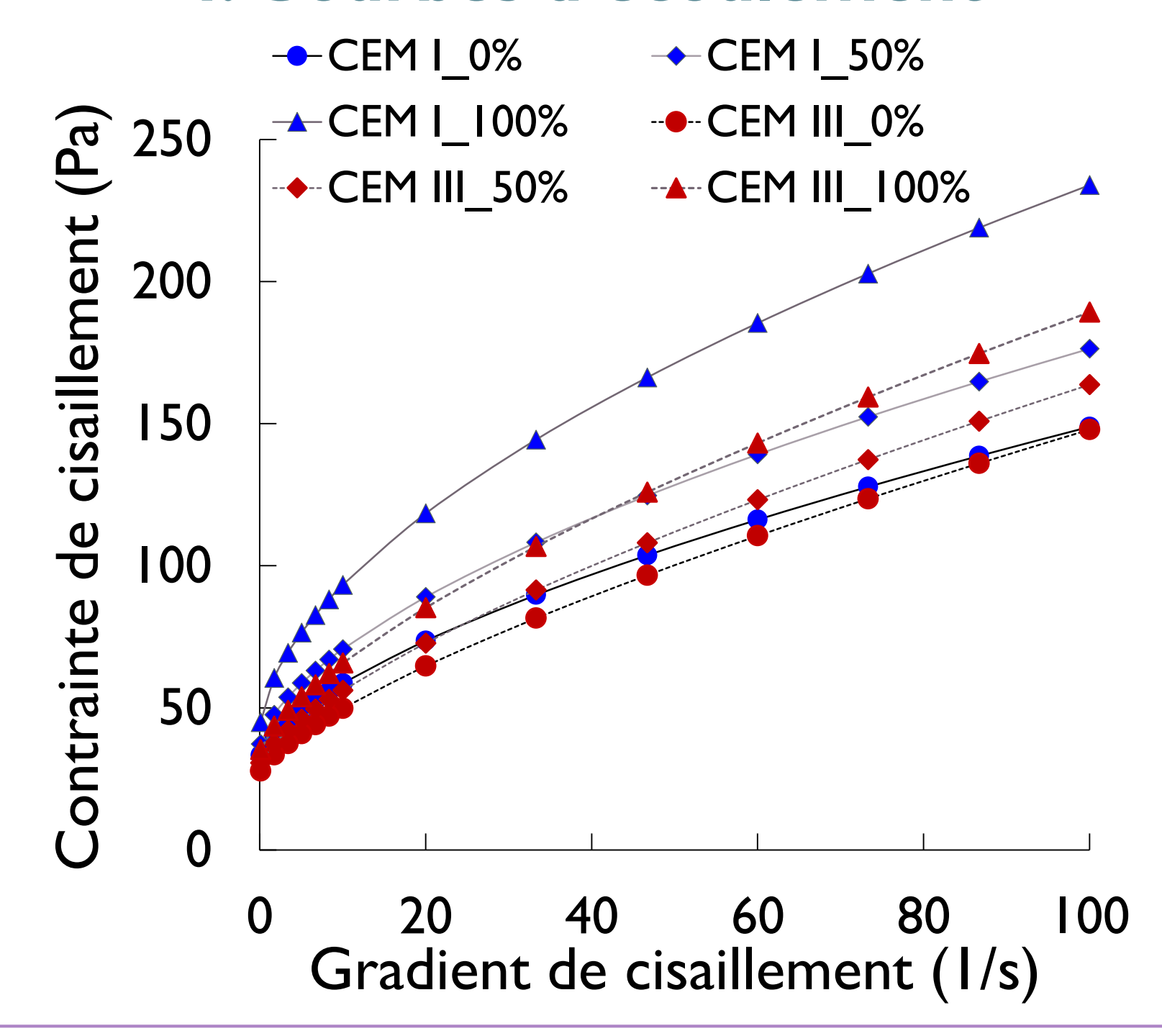
- Affaissement et diamètre d'étalement moyen avec un mini cône MBE (d=50 mm, D=100 mm et H=150 mm).
- o Propriétés rhéologiques avec un rhéomètre à géométrie vane Anton Paar MCR 72

3. Protocole rhéologique

Composition chimique (FRX)



4. Courbes d'écoulement

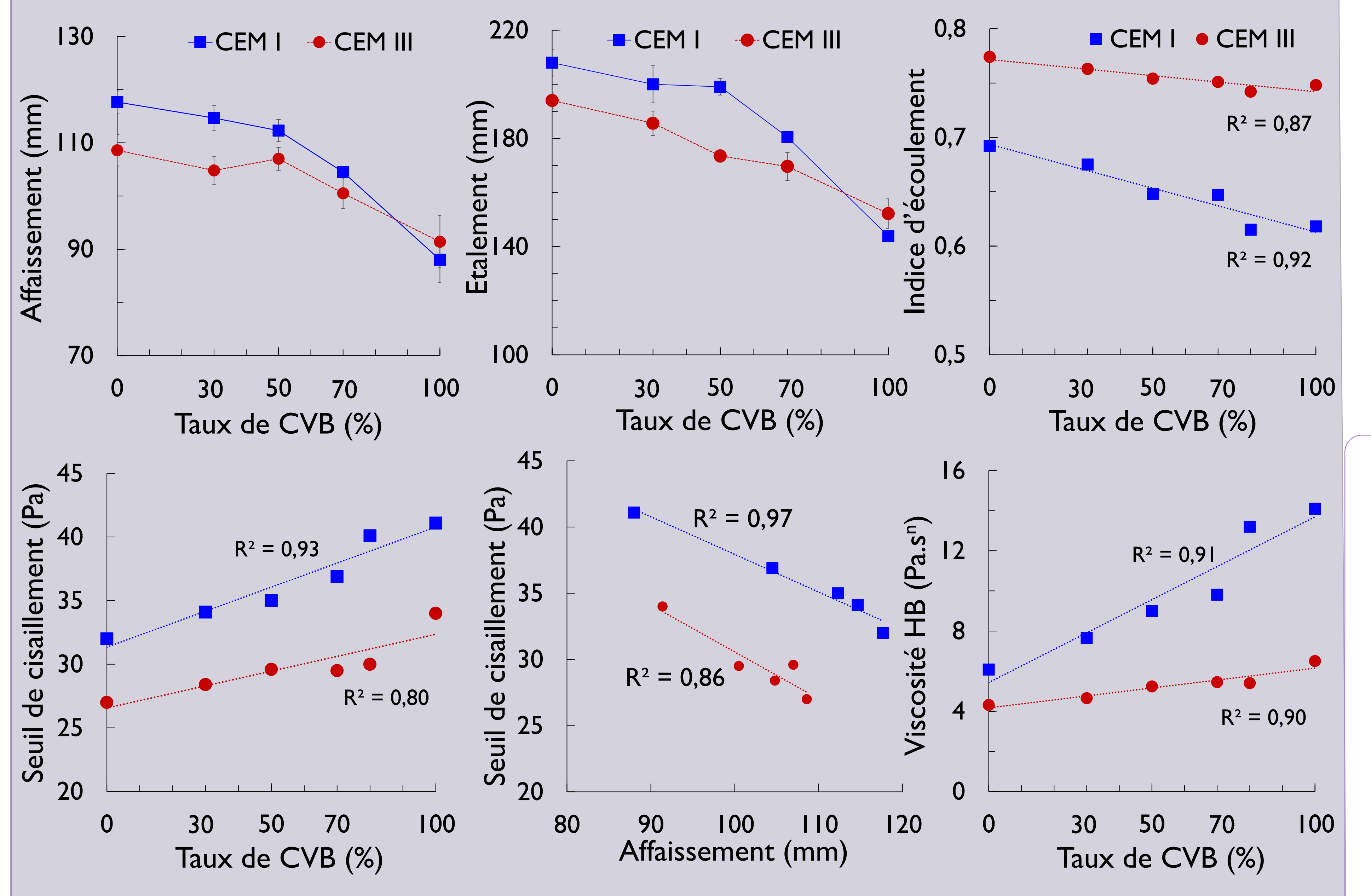


Résultats

Analyse des courbes d'écoulement: Modèle de Herschel-Bulkley (HB)

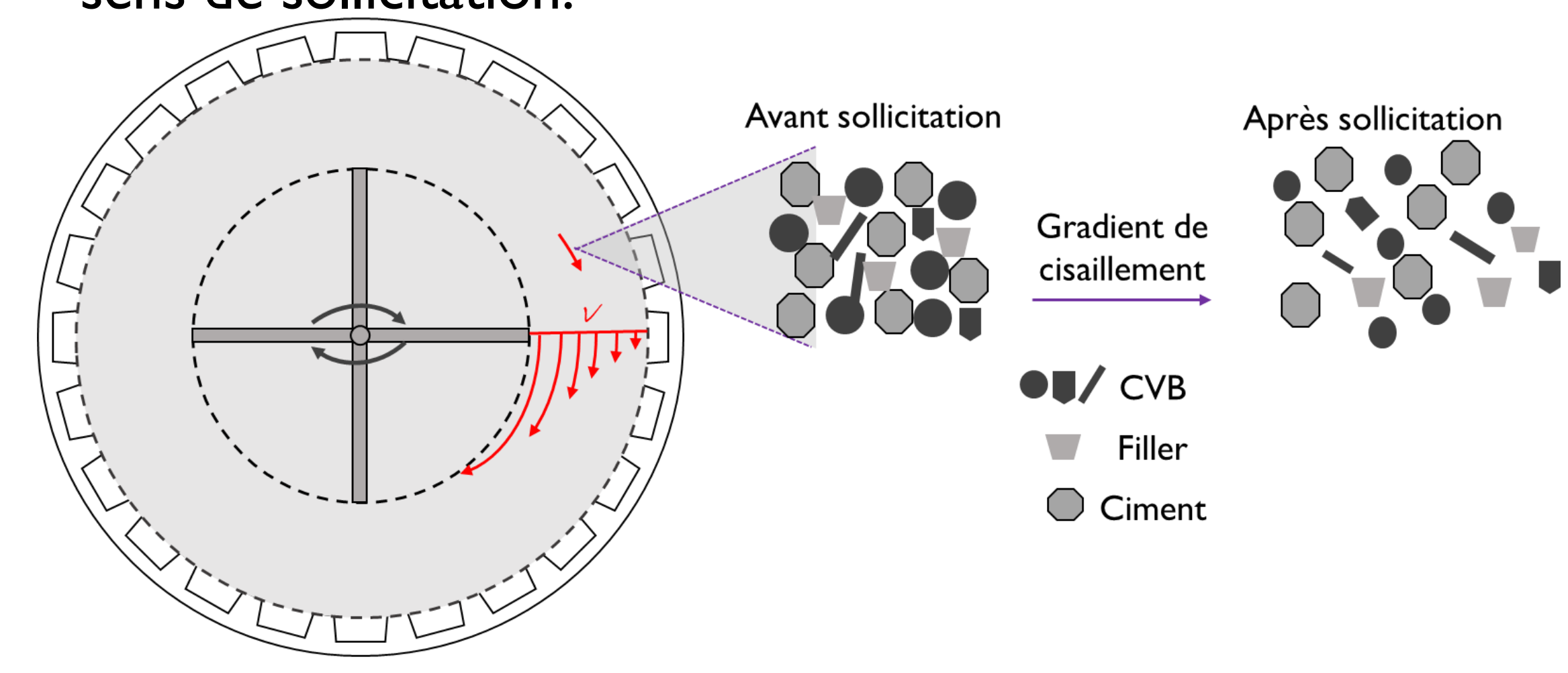
$$\tau = \tau_{0,HB} + K\dot{\gamma}^n$$

 $\tau_{0,HB}$ (Pa) seuil de cisaillement, K (Pa.sⁿ) viscosité et n l'indice d'écoulement



- \circ Augmentation du taux de CVB \rightarrow Diminution de l'étalement et augmentation du seuil de cisaillement en raison de la forte demande en eau des CVB.
- O Bonne corrélation entre les essais d'ouvrabilité (affaissement) et les mesures rhéologiques (seuil de cisaillement).

la viscosité Augmentation de tandis l'indice que comportement d'écoulement diminue \rightarrow rhéofluidifiant. Les particules sphériques dans les CVB favorisent l'écoulement en couches longitudinales dans le sens de sollicitation.



Rhéomètre vue de dessus Rhéofluidification: réorientation dans le sens de sollicitation à l'échelle de la microstructure dans le mélange.

© Conclusions

- Les pâtes de CEM III montrent une floculation réduite par rapport aux pâtes de CEM I, limitant l'évolution des propriétés.
- O La demande en eau accrue des CVB, liée à leur surface spécifique élevée et à leur perte au feu importante, réduit l'ouvrabilité.
- Les pâtes montrent une rhéofluidification plus marquée avec les CVB qu'avec le filler calcaire.
- Les CVB n'altèrent pas la stabilité rhéologique du matériau cimentaire.
- O Un remplacement total du filler calcaire par des **CVB** est envisageable.